

# 剪力波速液化潛勢評估法介紹



張文忠  
成大土木系  
2016/08/29





- ▶ 剪力波速性質與量測方法
- ▶ 剪力波速液化評估法回顧
- ▶ 碳石砂土層液化評估
- ▶ 本土土壤適用性與案例
- ▶ 結論





# 土壤剪力波速(Vs)

國立大學

COPYRIGHT 2002 NATIONAL CHUNG HSING UNIVERSITY



- ▶ 土壤小應變下之力學特性： $G_{\max} = \rho V_s^2$
- ▶ 反應土壤組成、微觀構造、應力歷史及應力狀態

$$G_{\max} = 1230 \frac{(2.973 - e)^2}{(1 + e)} (OCR)^K (\sigma'_m)^{0.5} \quad (\text{Hardin \& Drenich 1972})$$

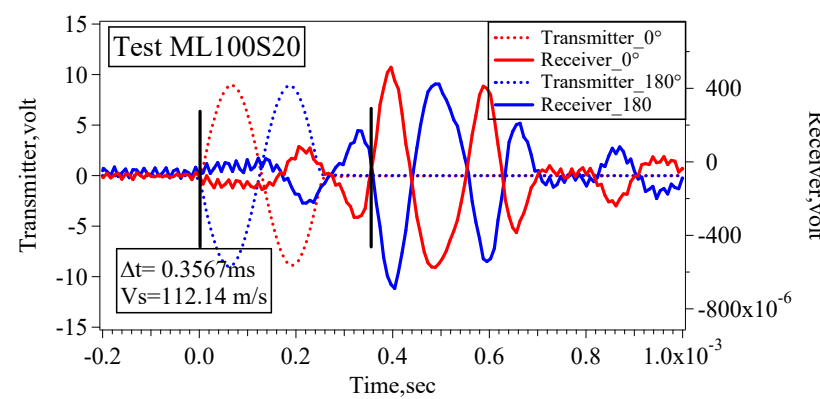
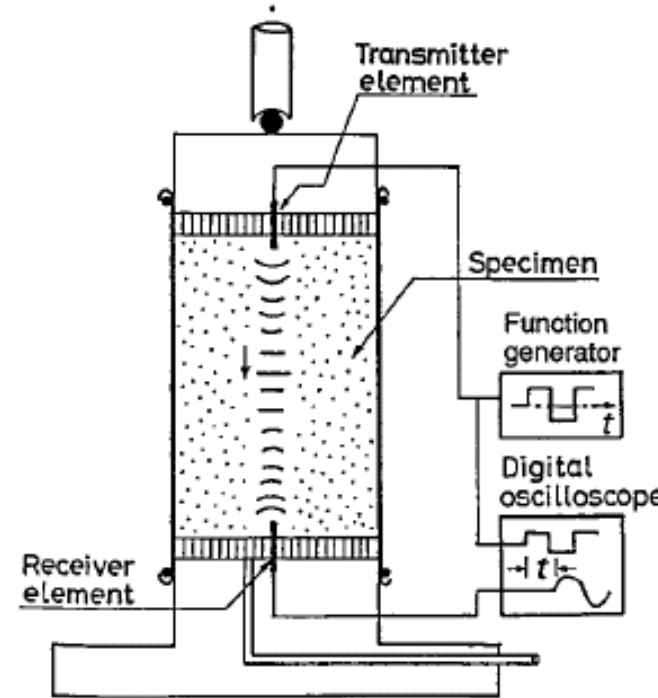
$$V_s = A(\sigma'_m)^n \quad n \leq 0.25 ; \quad V_s = C(\sigma'_a)^{na} (\sigma'_b)^{nb} \quad na \leq nb \leq n/2$$

- ▶ 地盤反應分析及地工數值模擬所需彈性參數
- ▶ 簡易液化評估之方法之一

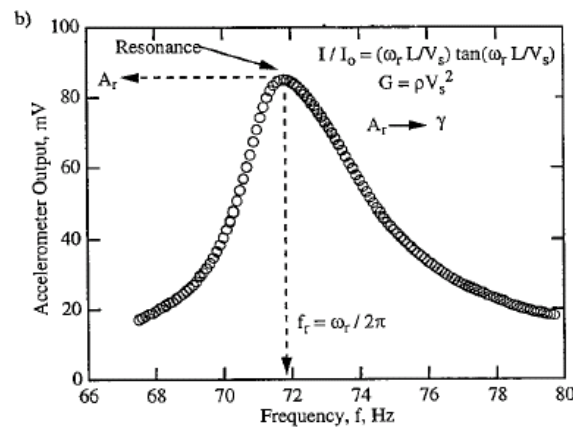
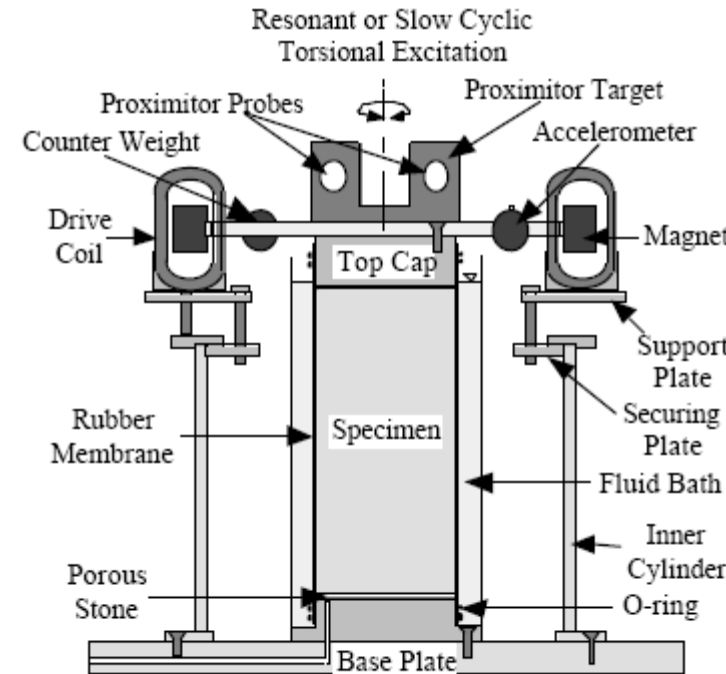




# 室內剪力波速量測方法



Bender Element



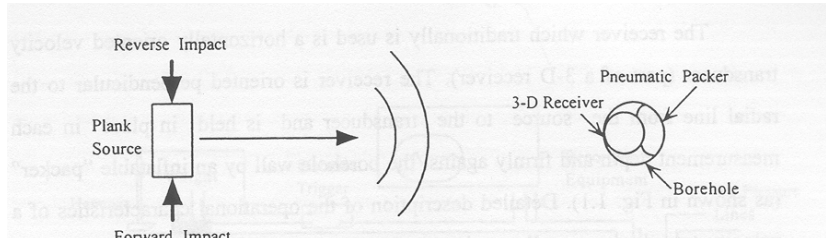
Resonant Column Test

# 現地剪力波速量測法(1/5)

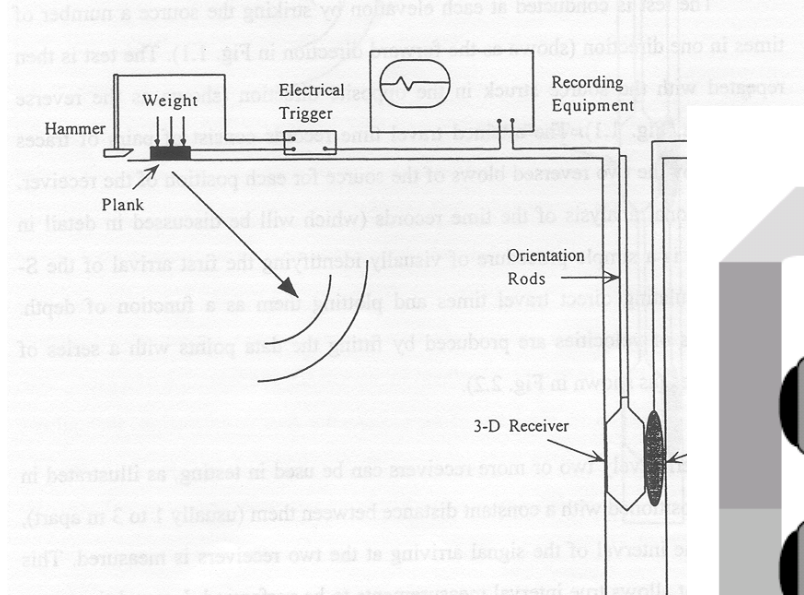


成功大學

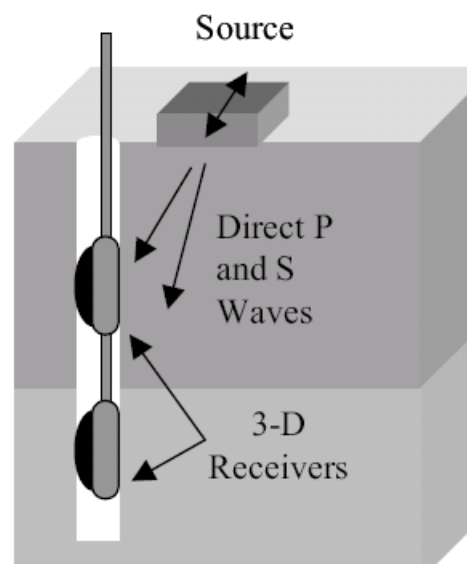
COPYRIGHT 2002 NATIONAL CHUNG HSING UNIVERSITY



a. Plan View



b. Cross-Sectional View



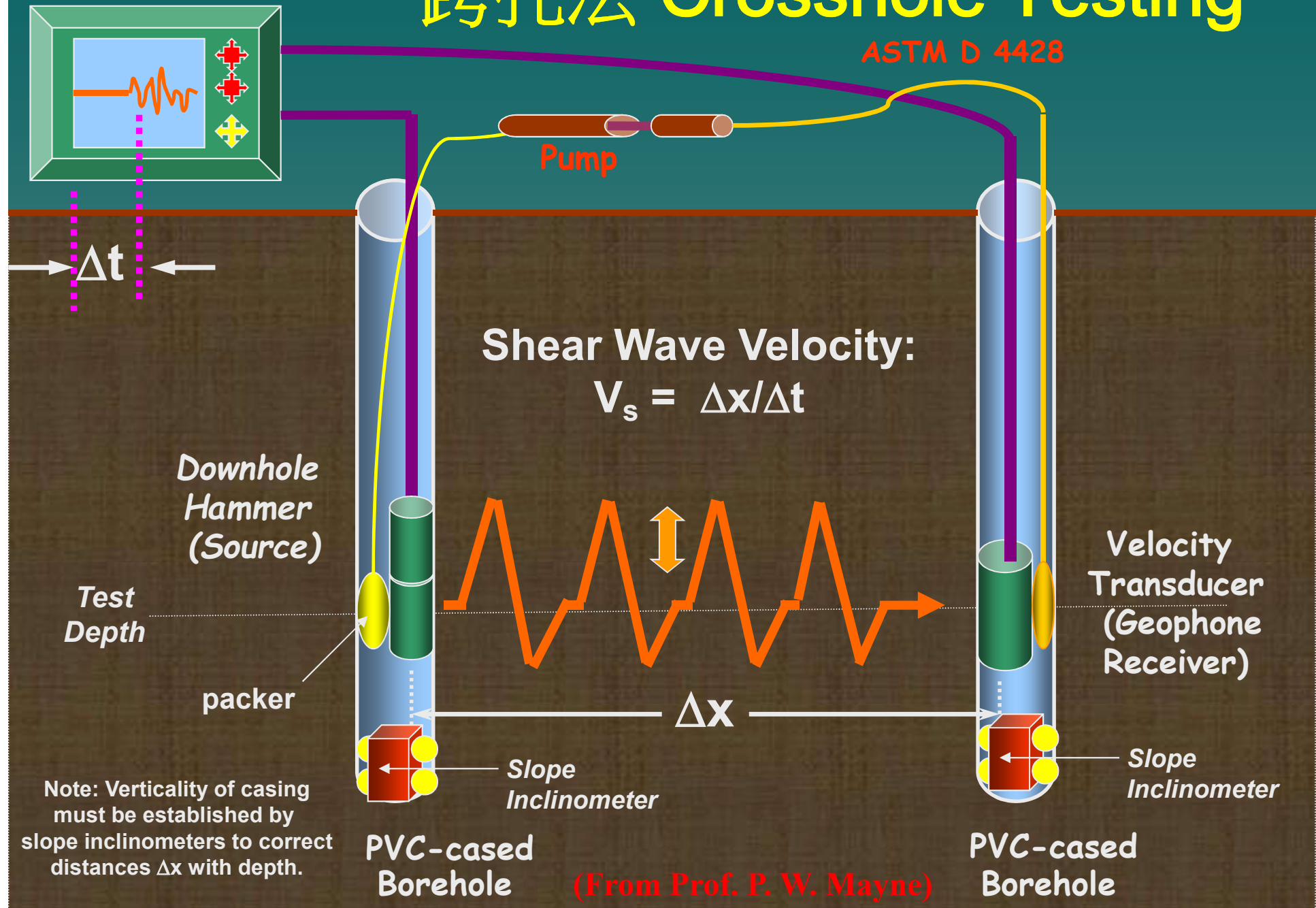
c. Seismic Cone Penetrometer



Figure 1.1 Schematic Representation of Downhole Testing (after Mok (1987))

## 下孔法(Downhole Testing)

# 跨孔法 Crosshole Testing



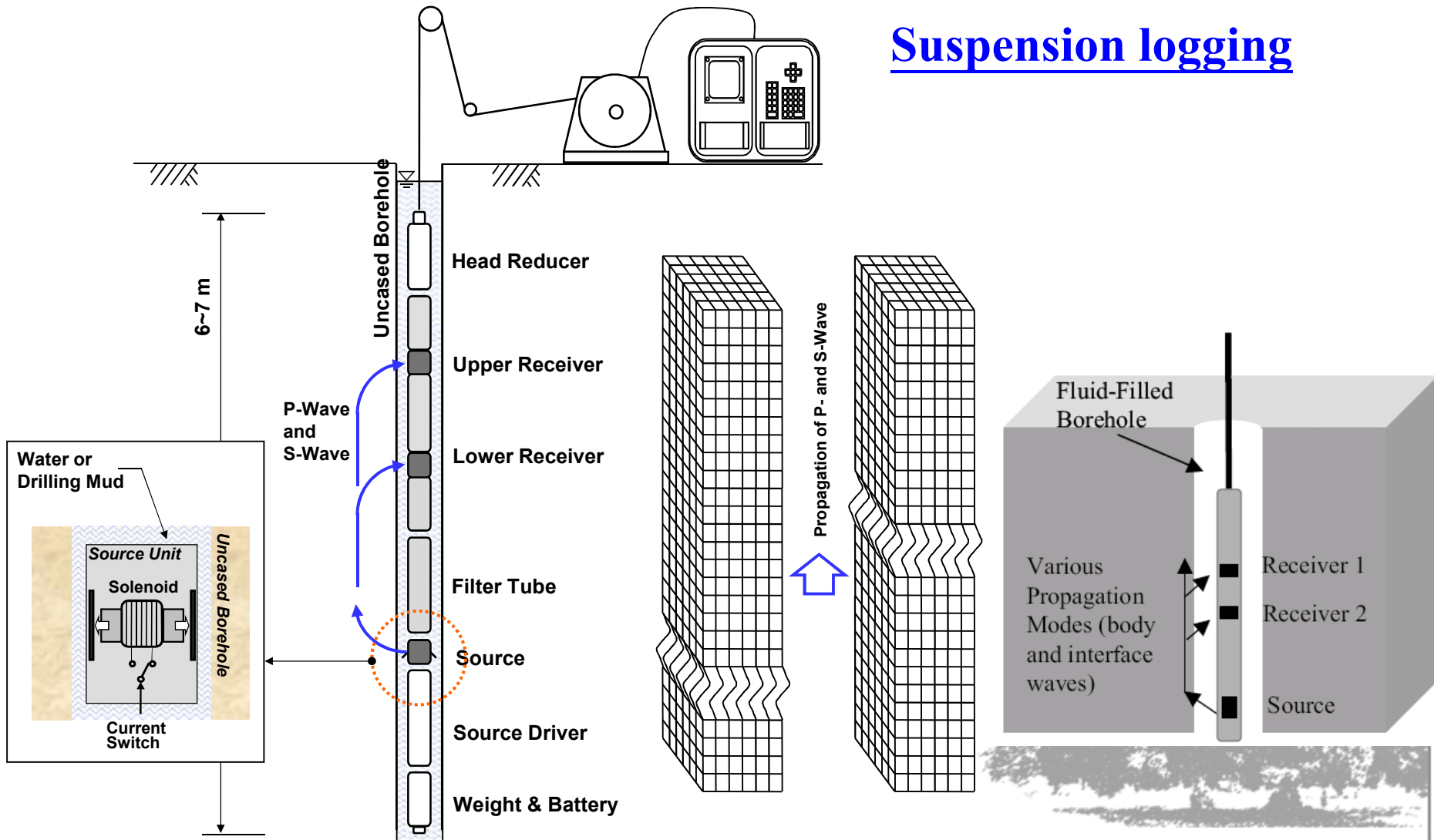
# 現地剪力波速度量測法(3/5)

成功大學

COPYRIGHT 2002 NATIONAL CHENG KUNG UNIVERSITY



## Suspension logging



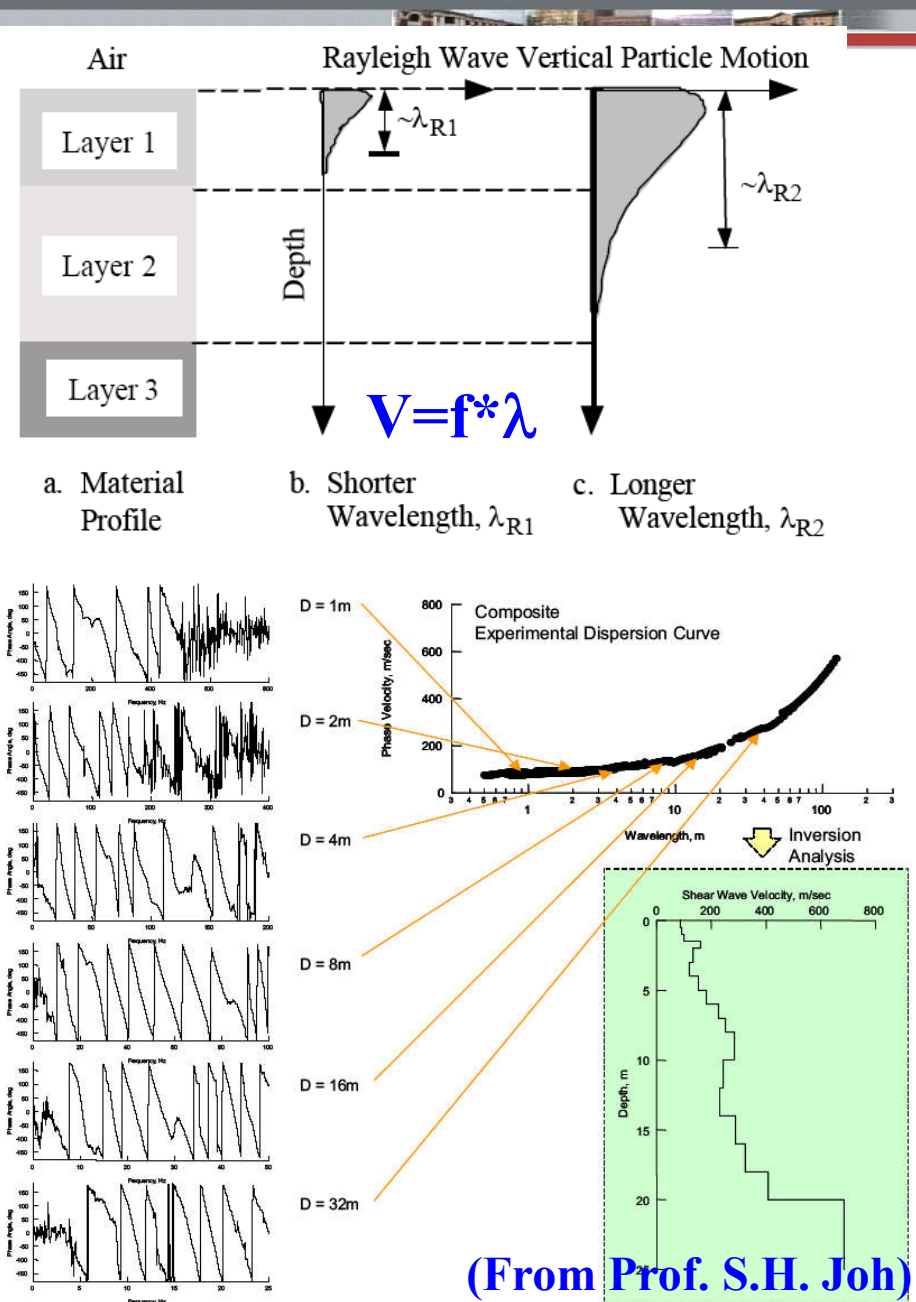
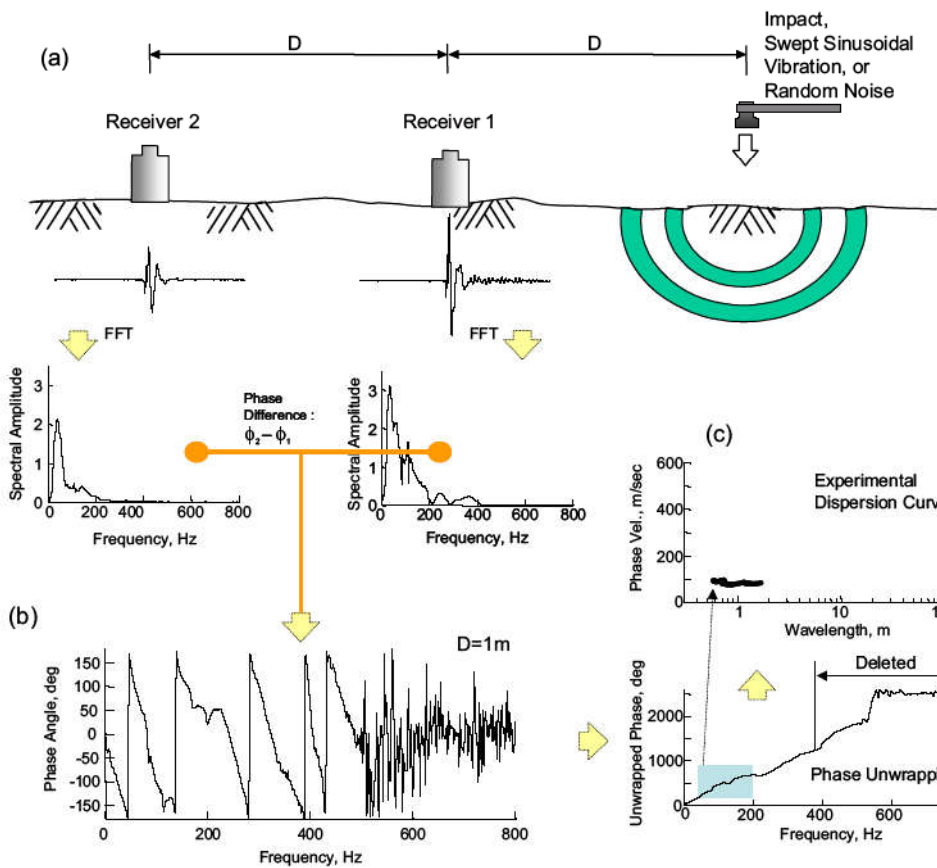


# 現地剪力波速度量測法(4/5)

成功大學

COPYRIGHT 2002 NATIONAL CHUNG HSING UNIVERSITY

## 表面波譜法(SASW)



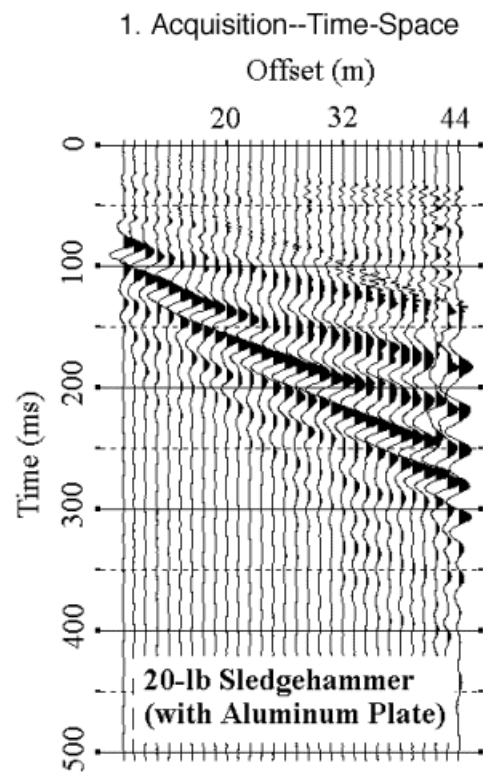
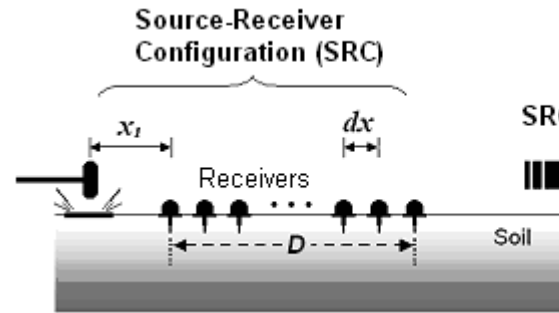
(From Prof. S.H. Joh)



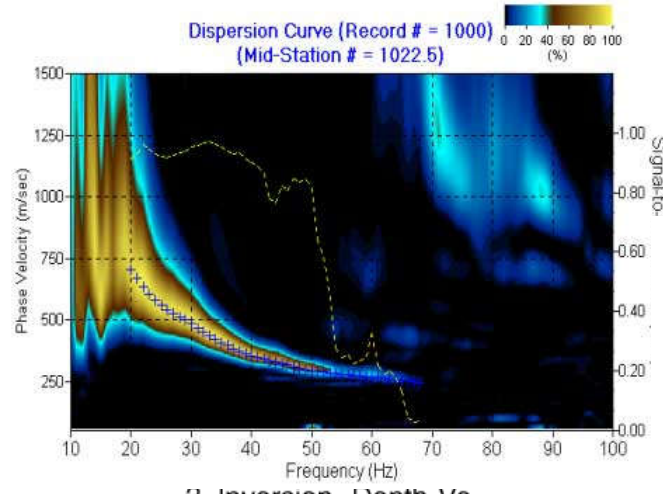
# 現地剪力波速度量測法(5/5)

成功大學

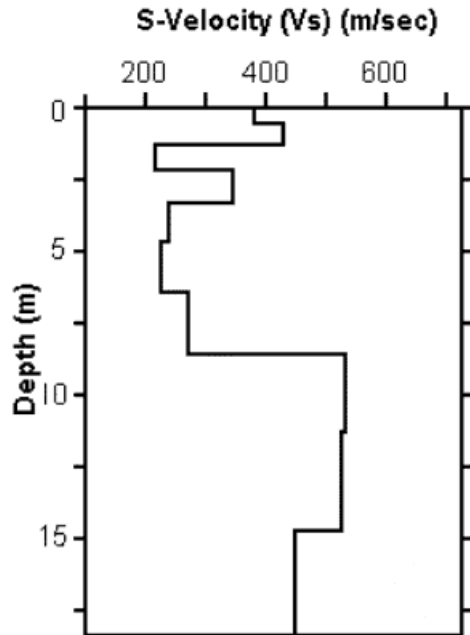
COPYRIGHT 2002 NATIONAL CHUNG HSING UNIVERSITY



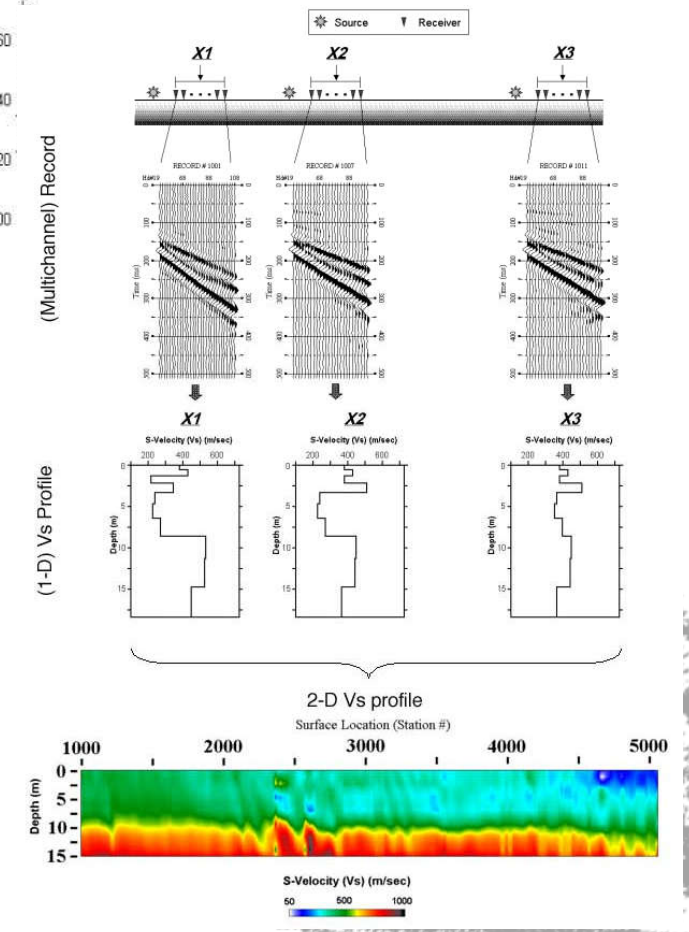
2. Dispersion Curve Extraction--Frequency-Phase Velocity



3. Inversion--Depth-Vs



## 多通道表面波譜法 (MASW)



(From KGS website)



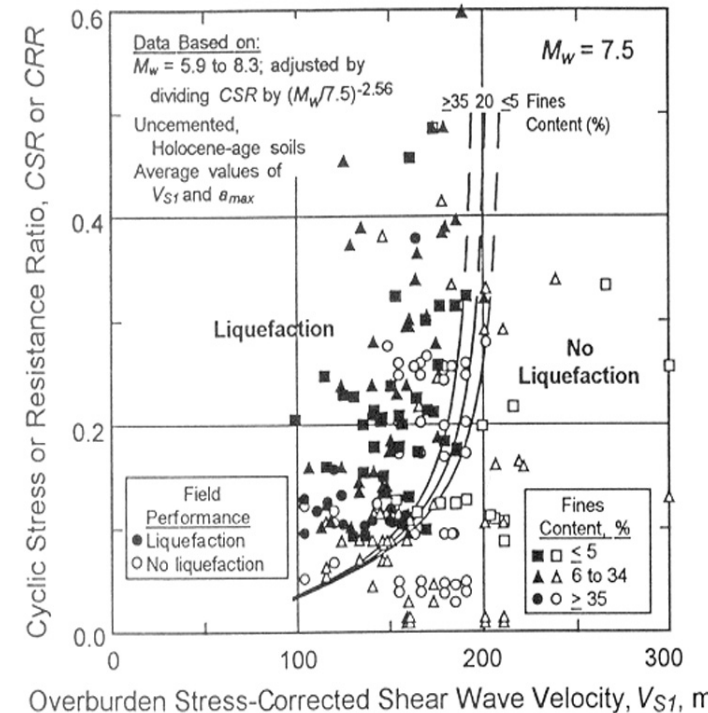
# 簡易液化評估法特點

國立大學

COPYRIGHT 2002 NATIONAL CHUNG HSING UNIVERSITY



- ▶ 基於過往震後案例分析結果
- ▶ 建立土壤液化阻抗( $CSR_{LF}$ )與現地試驗參數之關係式
  - ▷ Corrected SPT- $N_{1,60}$
  - ▷ Normalized CPT- $q_{c1}$
  - ▷ Normalized shear wave velocity  $V_{s1}$
- ▶ 因程序簡易而廣為工程界使用
- ▶ 準確性？



$$V_{s1} = V_s \left( \frac{P_a}{\sigma_v} \right)^{0.25}$$



# 土壤液化阻抗影響因子與現地試驗參數關聯



國立大學

COPYRIGHT 2002 NATIONAL CHUNG HSING UNIVERSITY



因子	液化阻抗	SPT-N	Vs	土壤取樣影響
相對密度, $D_r$ (void ratio, e)	+	+	+	Significant
土壤微觀結構 (fabric effect)	+	+	+ (minor)	Significant
前震效應 (pre-shaking effect)	+	+ (?)	--	Significant
應力歷史 ( $K_0$ & OCR)	+	+	--	?
時間效應 (aging effect)	+	+	--	?
有效應力 (Effe. Stress)	--	+	+	?

(Ladd et al. 1989)



# 不同現地參數液化阻抗評估比較

國立  
成功大學

COPYRIGHT 2002 NATIONAL CHUNG HSING UNIVERSITY



特點	SPT	CPT	BPT	Vs
案例數量	最多	次之	有限	較少
試驗時之應變範圍 與排水	大應變、 部分排水	大應變、 排水/部分排 水	大應變、 部分排水	小應變、 不排水
試驗重複與一致性	差->好	優	差	好->優
土壤變異判釋	好	優	良	良
適用土層	非礫石土層	非礫石土層	礫石土層	各種土層
土壤取樣	可	無	無	無
參數本質	Index	Index	Index	Eng. prop.

## Vs-based 方法優缺點

(Youd et al. 2001)

### 優點:

量測土壤工程性質、可用於礫石土層、非侵入/非破壞檢測

### 缺點:

小應變性質、無取樣、無法反應膠結程度、受應力影響顯著



## ► Deterministic (定值分析)

- Robertson et al. (1992)
- Tokimatsu & Uchida (1990)
- Kayen et al. (1992), (2013)
- Lodge (1994)
- Andrus and Stokoe (2000)
- Zhou and Chen (2007)
- Chang (2016) (for gravel)

## ► Probabilistic (機率分析)

- Juang et al. (2001), (2002)
- Kayen et al. (2013)

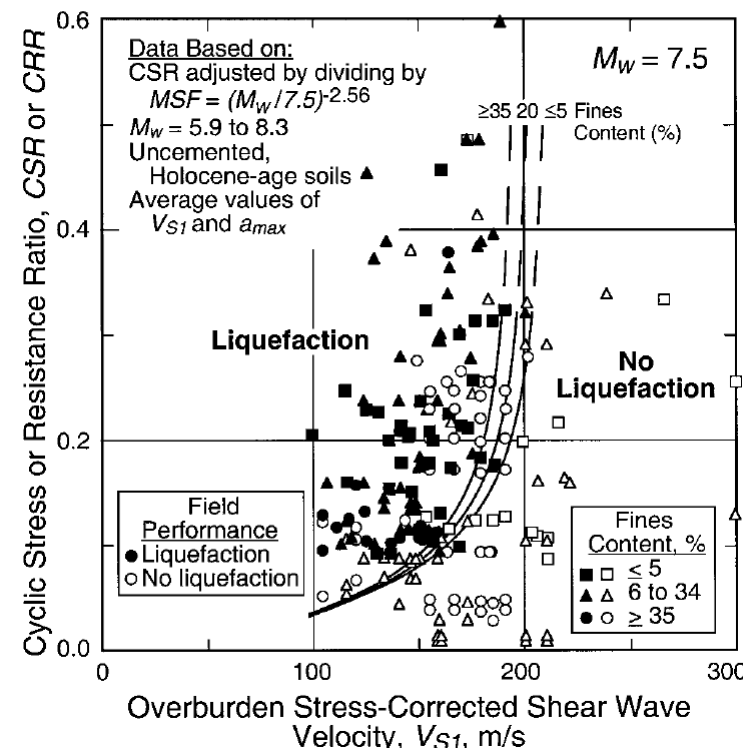




## ► Loading:

$$CSR = \frac{\tau_{av}}{\sigma'_v} = 0.65 \left( \frac{a_{\max}}{g} \right) \left( \frac{\sigma_v}{\sigma'_v} \right) r_d$$

$$r_d = \frac{(1.000 - 0.4113z^{0.5} + 0.04052z + 0.001753z^{1.5})}{(1.000 - 0.4177z^{0.5} + 0.05729z - 0.006205z^{1.5} + 0.001210z^2)}$$



## ► Resistance:

$$V_{S1} = V_s C_V = V_s \left( \frac{P_a}{\sigma'_v} \right)^{0.25}$$

$$CRR = \left\{ a \left( \frac{V_{S1}}{100} \right)^2 + b \left( \frac{1}{V_{S1}^*} - \frac{1}{V_{S1}} \right) \right\} MSF$$

**a=0.022, b=2.8**

$$MSF = \left( \frac{M_w}{7.5} \right)^n \quad n = -2.56$$

$$V_{S1}^* = 215 \text{ m/s, for sands with } FC \leq 5\% \quad (11a)$$

$$V_{S1}^* = 215 - 0.5(FC - 5) \text{ m/s, for sands with } 5\% < FC < 35\% \quad (11b)$$

$$V_{S1}^* = 200 \text{ m/s, for sands and silts with } FC \geq 35\% \quad (11c)$$

$$FS_{LF} = \frac{CRR}{CSR_{EQ}}$$



**Note: treat gravelly soils as clean sand**



- 422 case histories around the world
- 14 cases from Chi-Chi EQ with high CSR & FC
- Provide both deterministic and probabilistic approaches

## ► Loading:

$$\text{CSR} = \frac{\tau_{\text{avg}}}{\sigma'_v} = 0.65 \cdot \frac{a_{\max}}{g} \cdot \frac{\sigma_v}{\sigma'_v} \cdot r_d$$

$$r_d(d, M_w, a_{\max}, V_{s,12m}^*) = \frac{\left(1 + \frac{-23.013 - 2.949 \cdot a_{\max} + 0.999 \cdot M_w + 0.0525 \cdot V_{s,12m}^*}{16.258 + 0.201 \cdot e^{0.341 \cdot (-d + 0.0785 \cdot V_{s,12m}^* + 7.586)}}\right)}{\left(1 + \frac{-23.013 - 2.949 \cdot a_{\max} + 0.999 \cdot M_w + 0.0525 \cdot V_{s,12m}^*}{16.258 + 0.201 \cdot e^{0.341 \cdot (0.0785 \cdot V_{s,12m}^* + 7.586)}}\right)} \pm \sigma_{erd}$$

$$r_d(d, M_w, a_{\max}, V_{s,12m})$$

d: 深度；  $M_w$ : 地震矩規模

$V_{s,12m}$ : 40 ft 深度內平均波速

$$\text{CRR} = \exp \left\{ \left[ \frac{(0.0073 \cdot V_{s1})^{2.8011} - 2.6168 \cdot \ln(M_w) - 0.0099 \cdot \ln(\sigma'_{vo})}{+ 0.0028 \cdot FC + 0.4809 \cdot \Phi^{-1}(P_L)} \right] / 1.946 \right\}$$

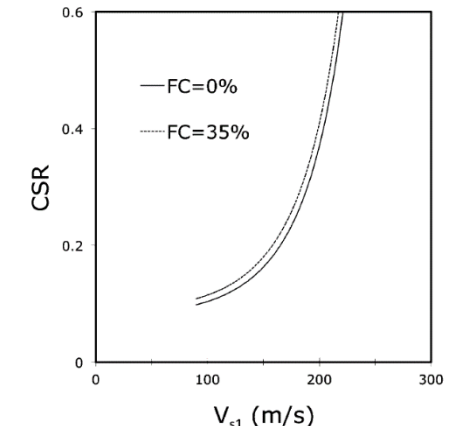
FC: 細粒料含量百分比

$P_L$ : 液化機率 ( $=0.15$ )

$\Phi^{-1}$ : 累積常態分佈反函數

$$\Phi^{-1}(0.15) = -1.03643$$

$$\text{DWF} = 15M_w^{-1.342}$$

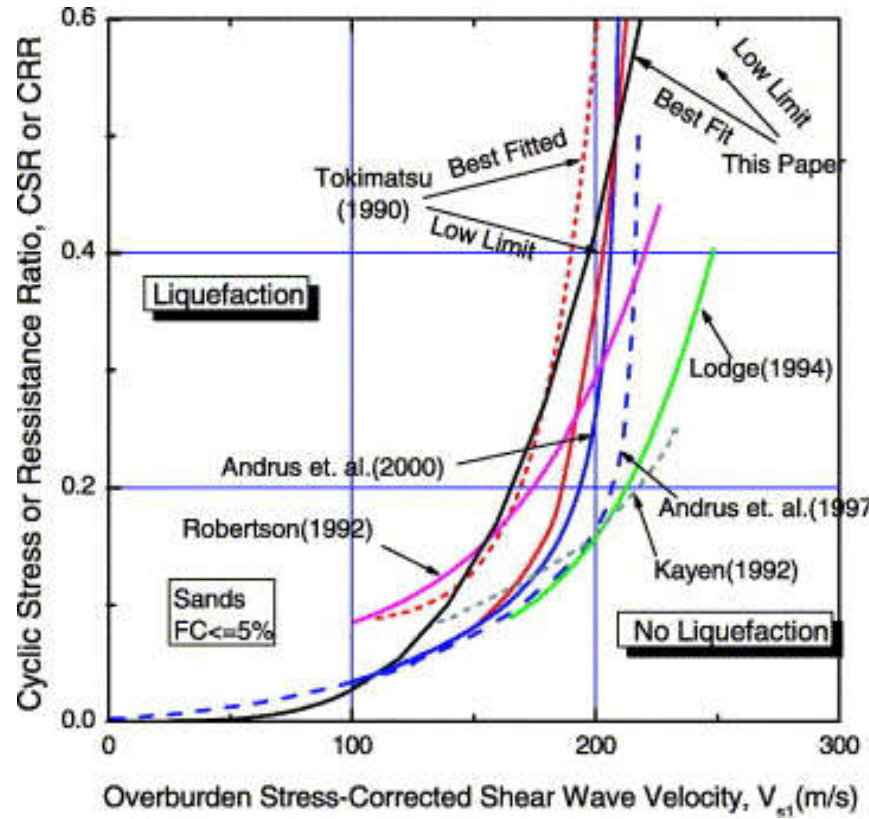




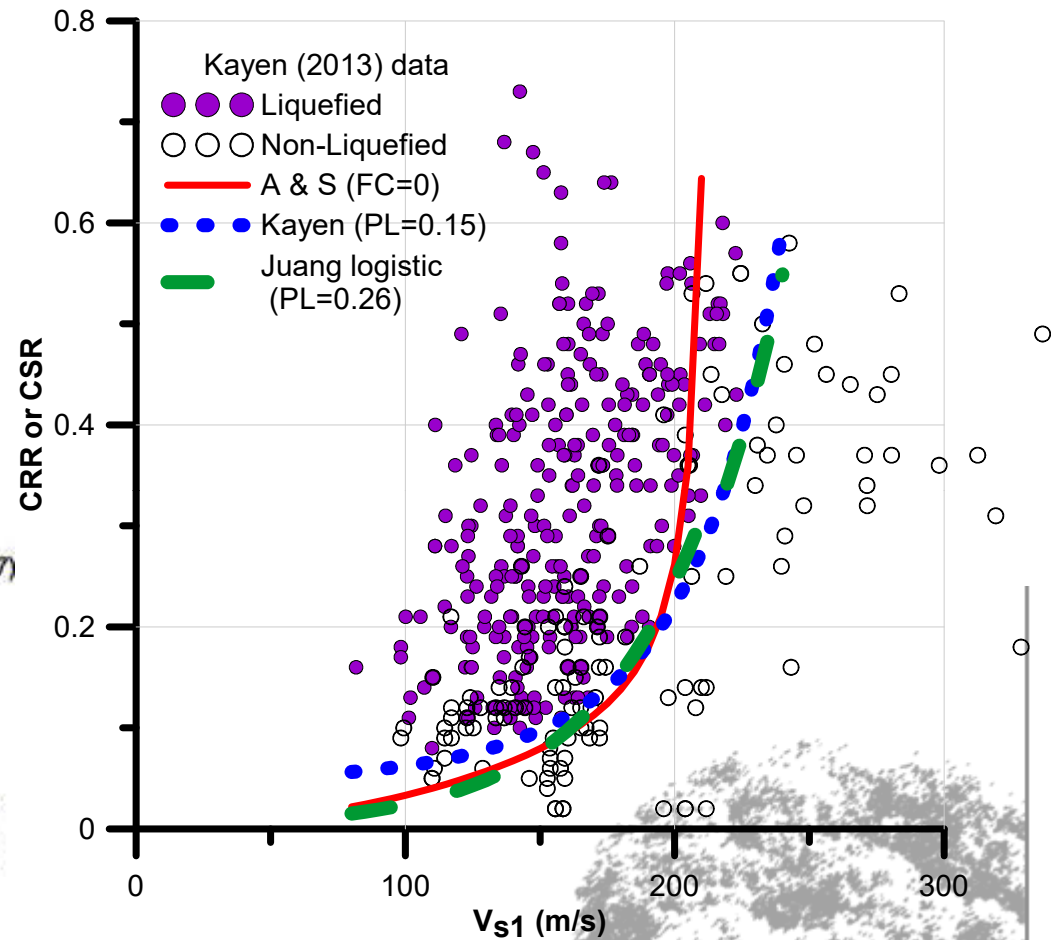
# 不同Vs-based定值法比較

國立大學

COPYRIGHT 2002 NATIONAL CHUNG HSING UNIVERSITY



(Chen et al., 2005)





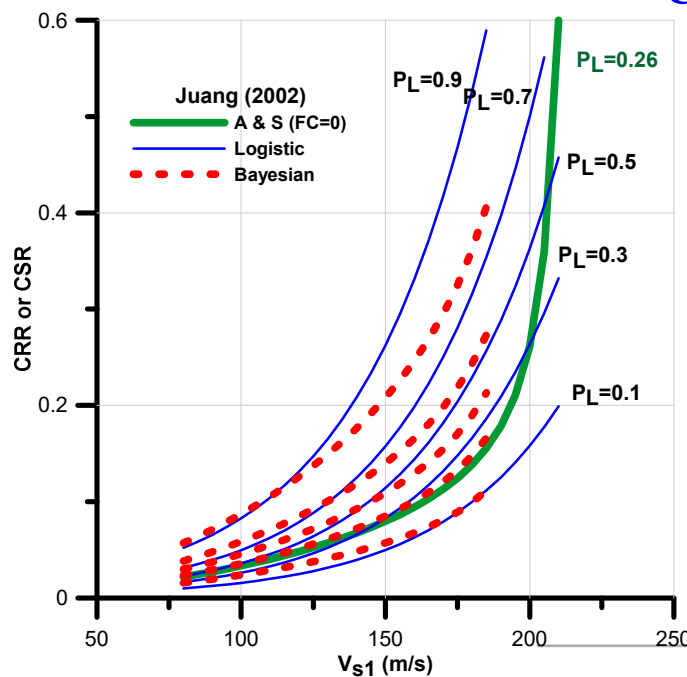
$$\text{CSR}_{7.5} = 0.65 \left( \frac{\sigma_v}{\sigma'_v} \right) \left( \frac{a_{\max}}{g} \right) (r_d) / \text{MSF} \quad \text{MSF} = (M_w / 7.5)^{-2.56}$$

## Logistic regression:

$$\ln[P_L / (1 - P_L)] = 14.8967 - 0.0611 V_{s1,cs} + 2.6418 \ln(\text{CSR}_{7.5})$$

## Bayesian mapping:

$$P_L = 1/[1 + (F_s/A)^B] \quad F_s = \frac{CRR_{AS}}{CRR_{7.5}}, A=0.73, B=3.4$$



**Table 2.** Liquefaction Likelihood Classification (Chen and Juang 2000)

Class	Probability of liquefaction ( $P_L$ )	Description of likelihood
5	$P_L \geq 0.85$	Almost certain that it will liquefy
4	$0.65 \leq P_L < 0.85$	Very likely to liquefy
3	$0.35 \leq P_L < 0.65$	Liquefaction and no liquefaction are equally likely
2	$0.15 \leq P_L < 0.35$	Unlikely to liquefy
1	$P_L < 0.15$	Almost certain that it will not liquefy

# Kayen et al. (2013) Vs-based 機率法分析

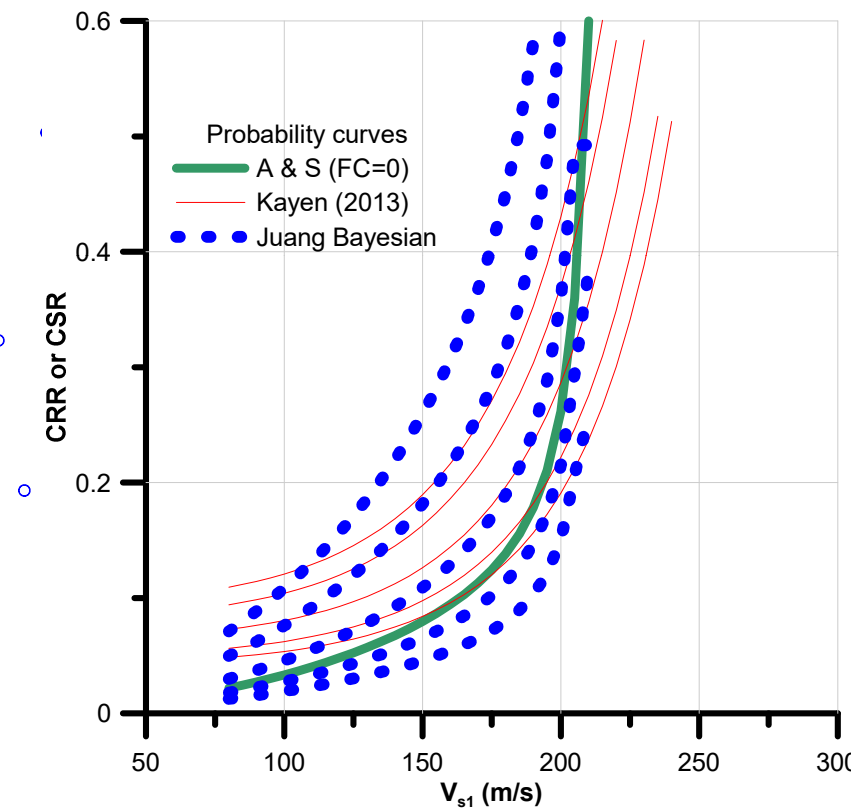
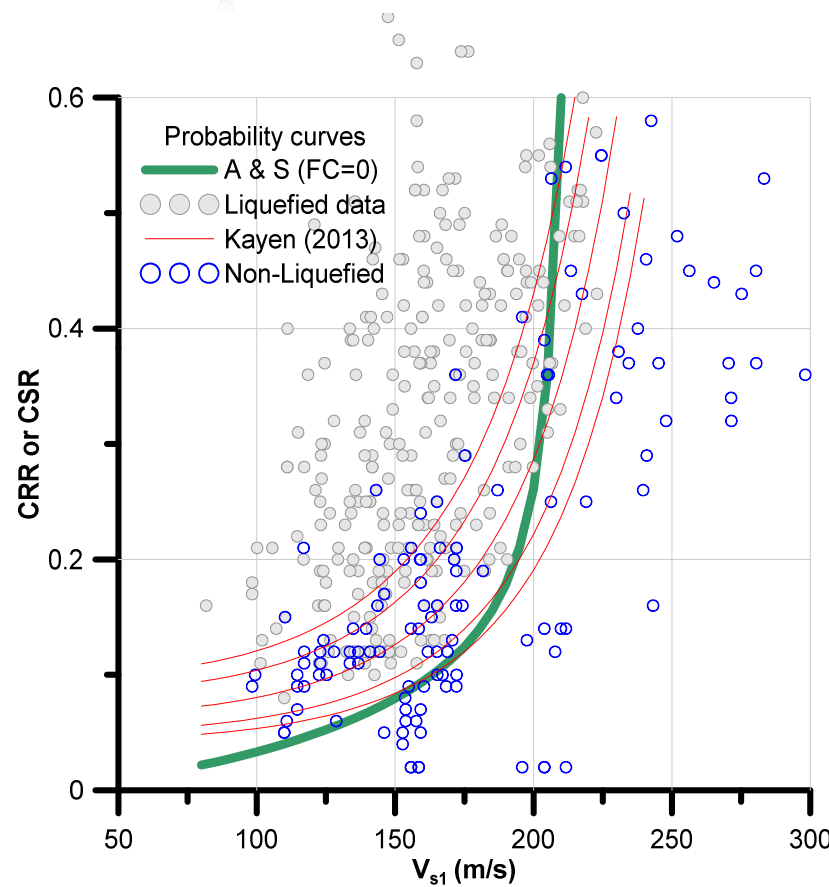


成功大學

COPYRIGHT 2002 NATIONAL CHUNG HSING UNIVERSITY



$$P_L = \Phi \left\{ \frac{[(0.0073 \cdot V_{s1})^{2.8011} - 1.946 \cdot \ln(\text{CSR}) - 2.6168 \cdot \ln(M_w) - 0.0099 \cdot \ln(\sigma'_{vo}) + 0.0028 \cdot (\text{FC})]}{0.4809} \right\}$$



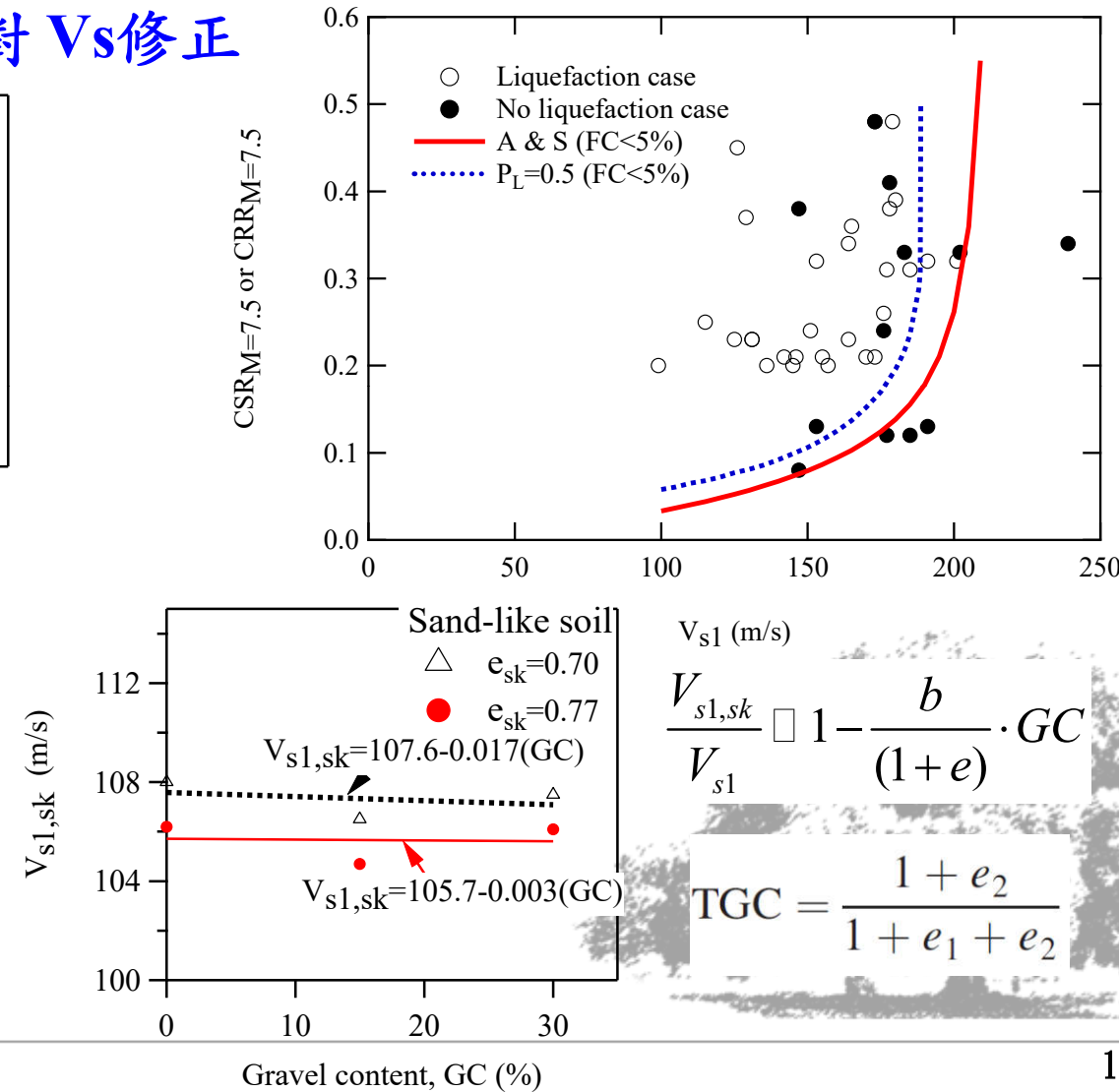
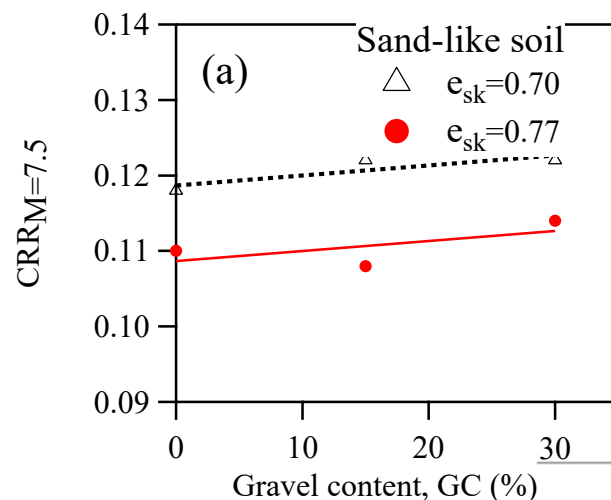
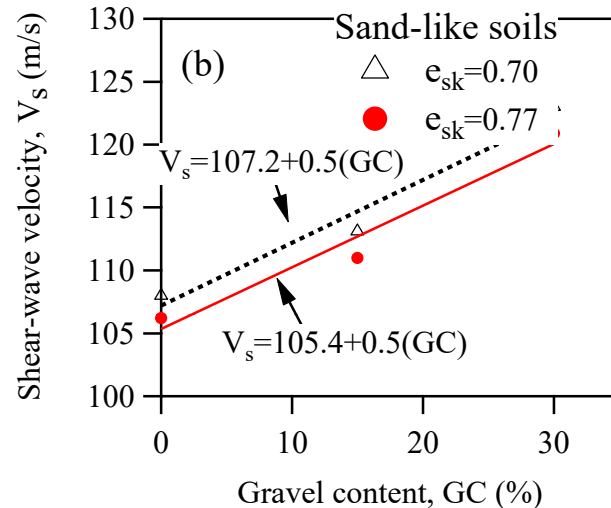


# 礫石砂土層液化評估 (Chang 2016)

國立  
大學

COPYRIGHT 2002 NATIONAL CHUNG HSING UNIVERSITY

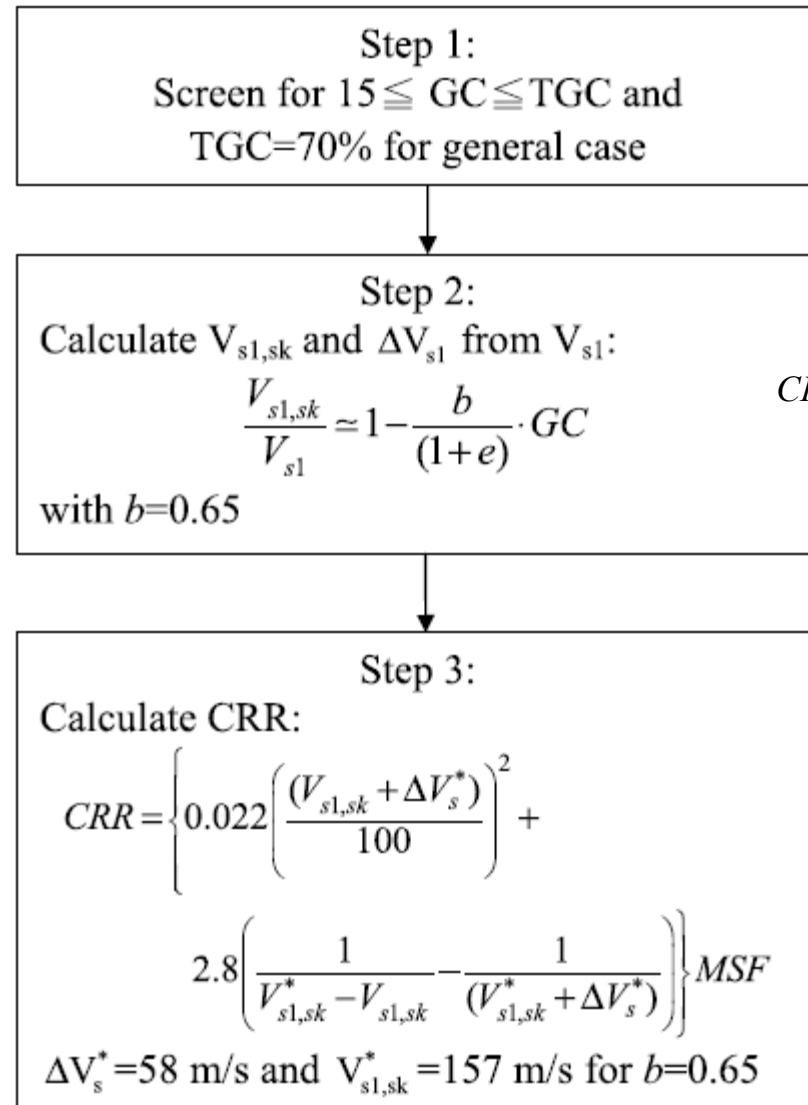
- 磦石砂土液化發生於分隔礫石顆粒之砂土
- 考慮不同顆粒間粒間狀態 (intergrain state) 概念
- 進行砂土中礫石含量對 Vs 修正





# 礫石砂土層液化評估程序

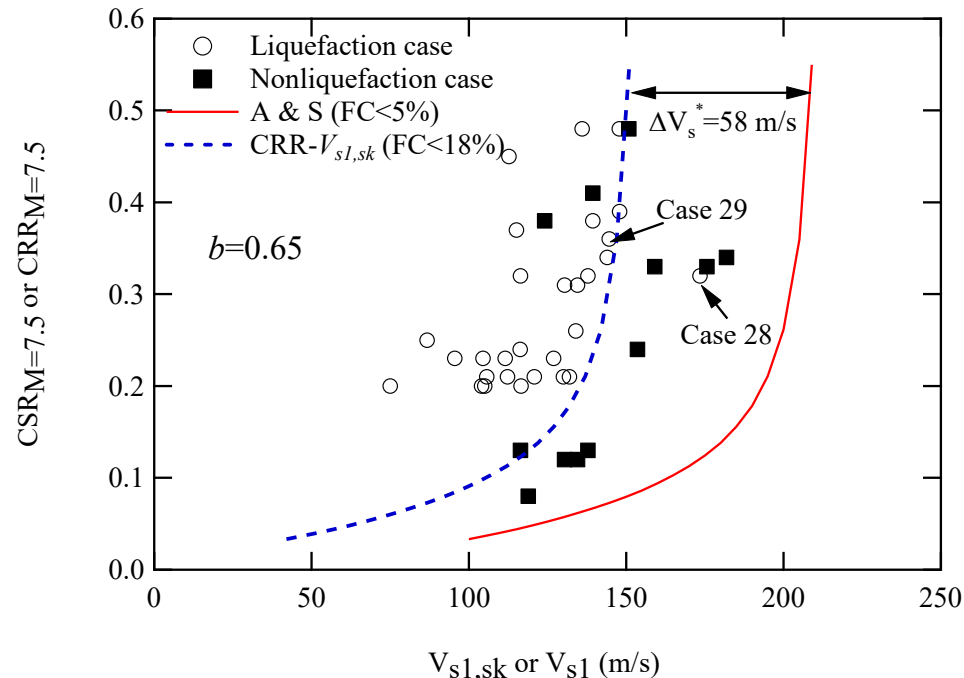
成功大學



$$TGC = \frac{1 + e_2}{1 + e_1 + e_2}$$

$$V_{s1,sk}^* = V_{s1}^* - \Delta V_s^*$$

$$CRR = \left\{ 0.022 \left( \frac{(V_{s1,sk} + \Delta V_s^*)}{100} \right)^2 + 2.8 \left( \frac{1}{V_{s1,sk}^* - V_{s1,sk}} - \frac{1}{(V_{s1,sk}^* + \Delta V_s^*)} \right) \right\} MSF$$





# 室內礫石砂土實驗結果比對

國立  
成功大學

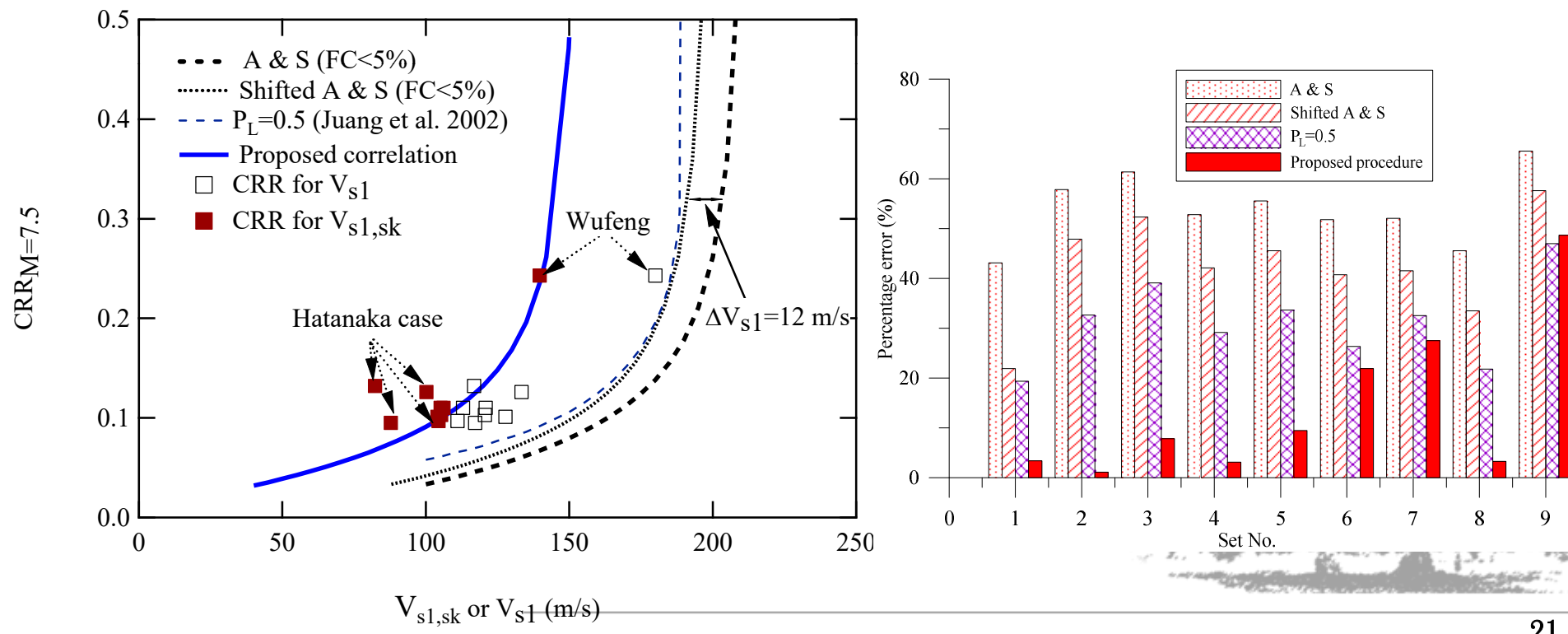
COPYRIGHT 2002 NATIONAL CHUNG HSING UNIVERSITY



**Table 4.** Summary of Laboratory Liquefaction Testing Results Used for Verification

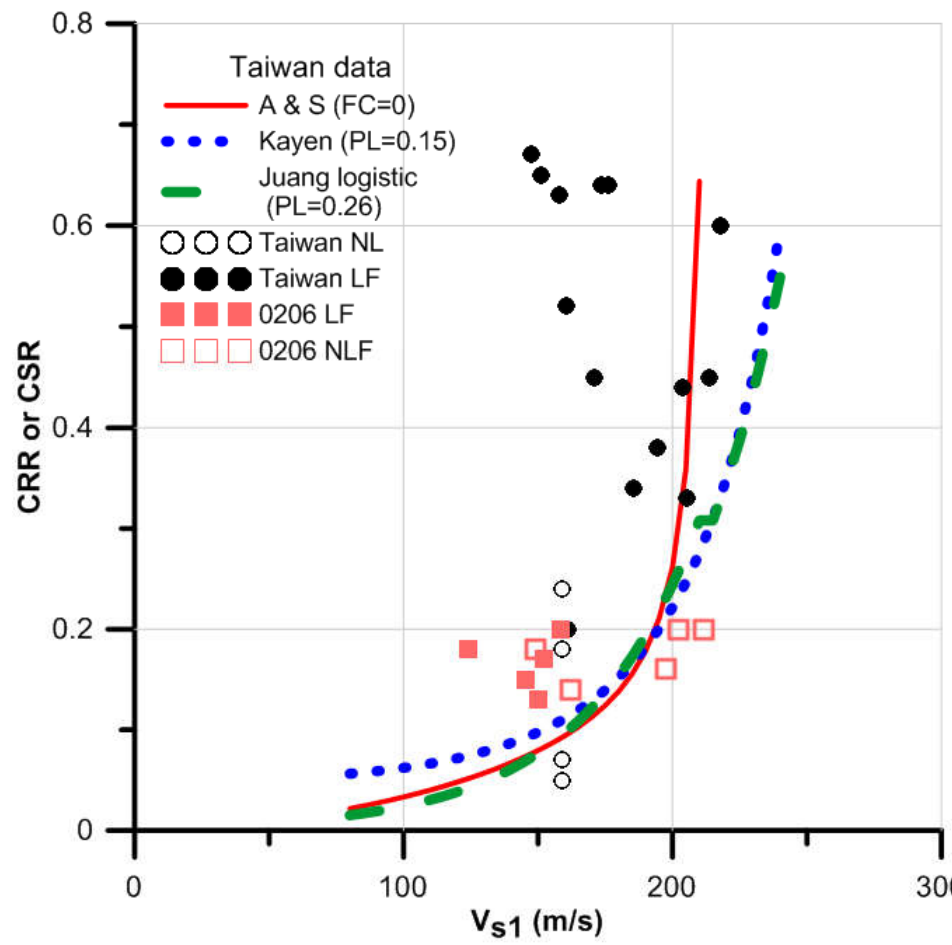
Set number	Description	GC (%)	e	FC (%)	$V_{s1}$ (m/s)	$V_{s1,sk}$ (m/s)	Field CSR <sub>M=7.5</sub>	Reference
1	Wufeng, Chi-Chi EQ (1999), remolded sample, CTX	53	0.54	3	180.0	139.7	0.243	Lin et al. (2004)
2	Sample ID: SC85-1~3, remolded sample, $K_0$ -CDSS	15	0.65	0	111.0	104.4	0.097	Chang et al. (2014)
3	Sample ID: SC85-4~6, remolded sample, $K_0$ -CDSS	15	0.61	0	113.0	106.2	0.110	Chang et al. (2014)
4	Sample ID: SC70-1~3, remolded sample, $K_0$ -CDSS	30	0.54	0	120.6	105.3	0.103	Chang et al. (2014)
5	Sample ID: SC70-4~6, remolded sample, $K_0$ -CDSS	30	0.50	0	120.9	105.2	0.110	Chang et al. (2014)
6	Sample: KPU, fill, frozen sample, CTX	53.3	0.38	7.9	117.2	87.8	0.095	Hatanaka et al. (1997)
7	Sample: KPM, fill, frozen sample, CTX	53.7	0.40	4.1	133.4	100.2	0.126	Hatanaka et al. (1997)
8	Sample: KPL, fill, frozen sample, CTX	41.8	0.46	5.4	127.8	104.1	0.101	Hatanaka et al. (1997)
9	Sample: MO, Holocene, frozen sample, CTX	60	0.32	8.5	116.8	82.3	0.132	Hatanaka et al. (1997)

Note: CTX = cyclic triaxial test;  $K_0$ -CDSS =  $K_0$  cyclic direct simple shear test.

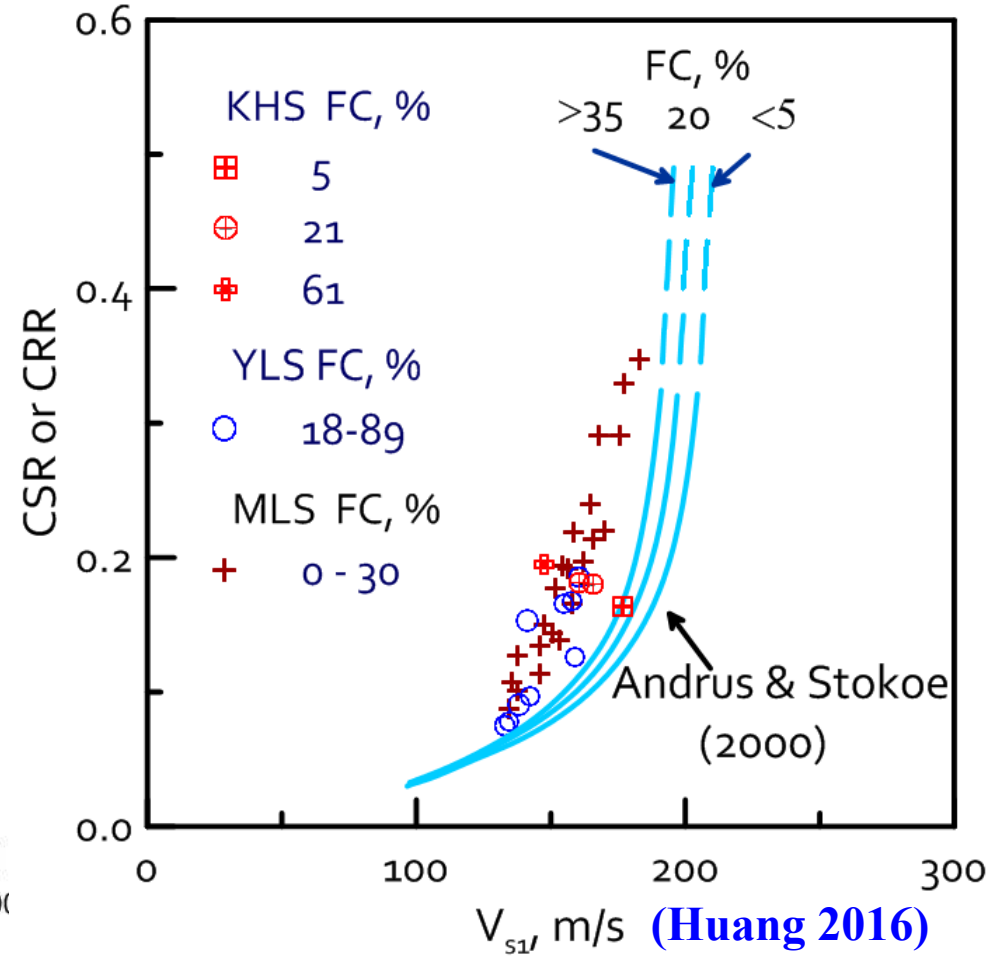


# 本土土壤適用性

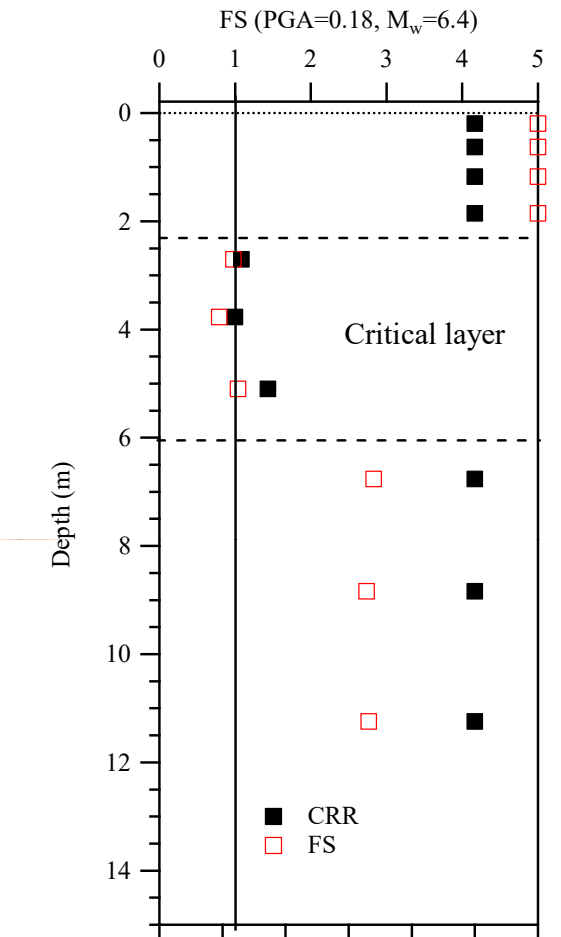
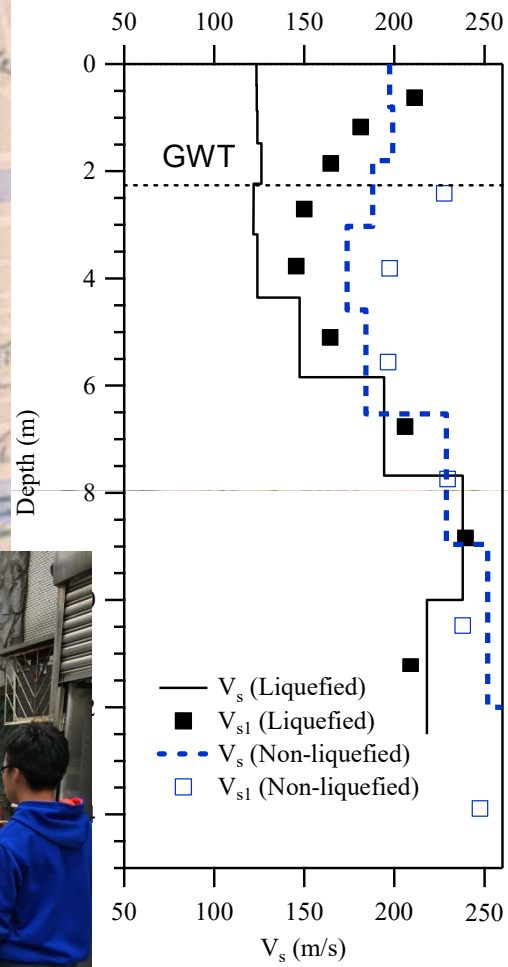
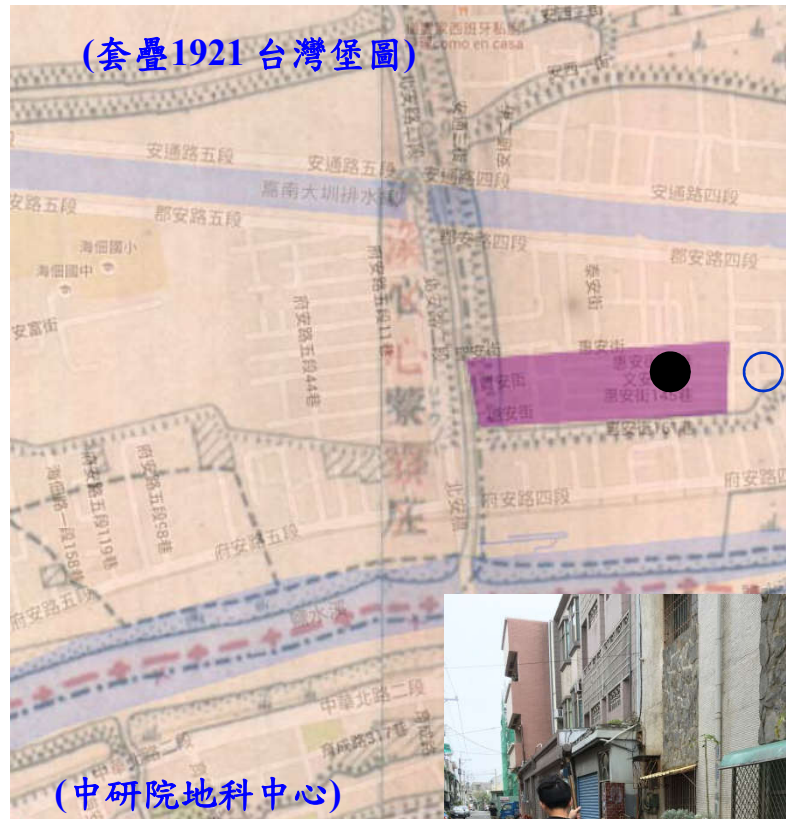
## 台灣現地液化案例



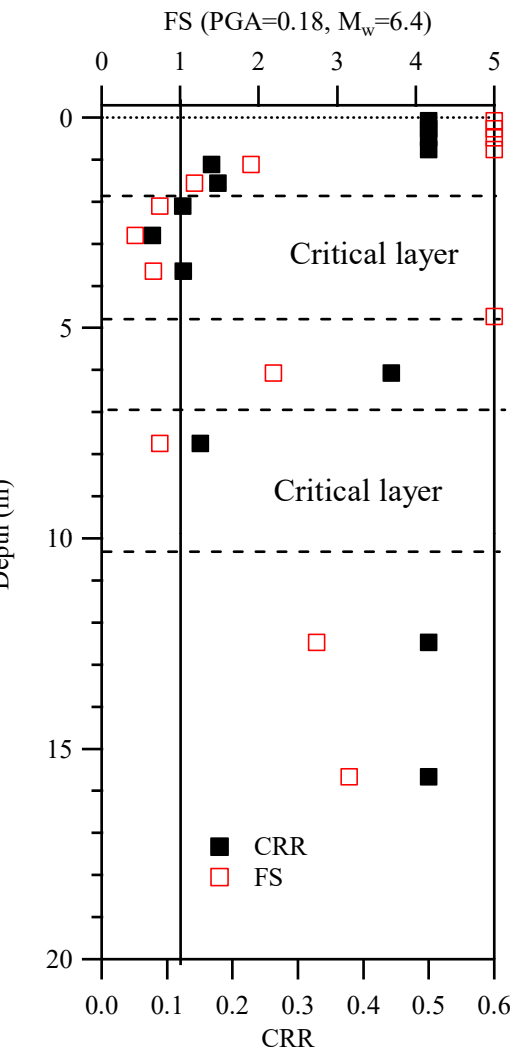
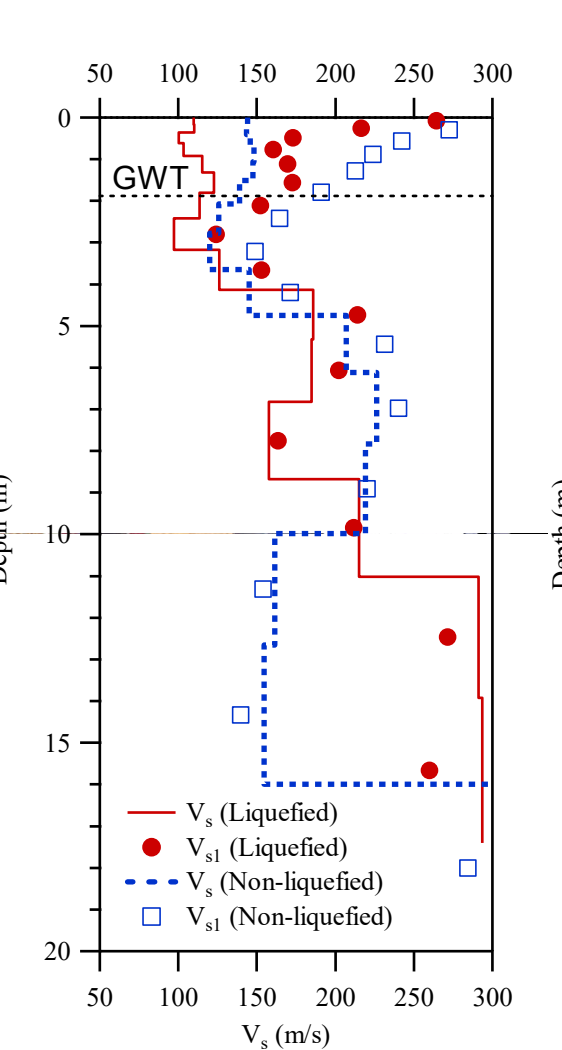
## 台灣西部粉土CTX結果



# 案例1：臺南市溪頂里液化調查



# 案例2: 新市三民街液化分析

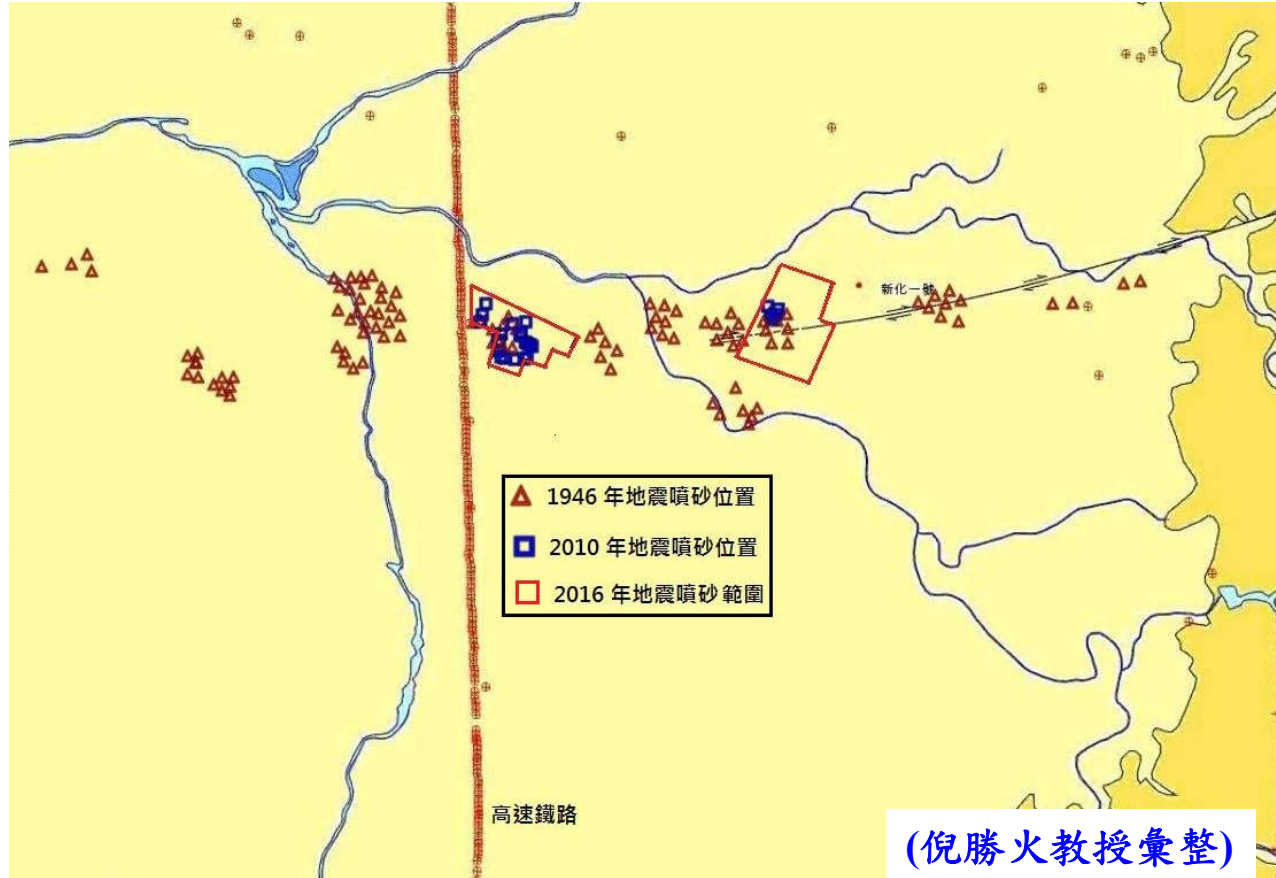




# 案例3::新化區北勢里

成功大學

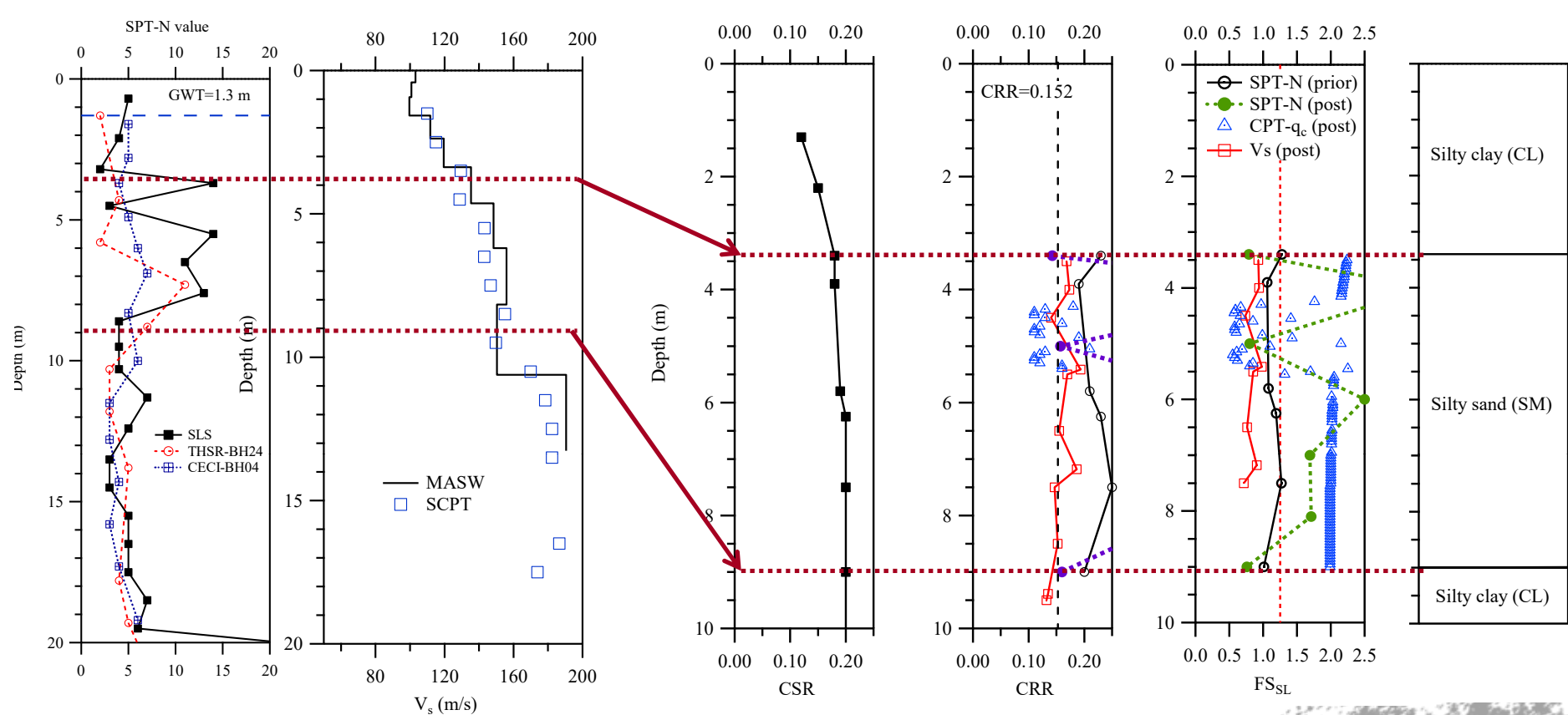
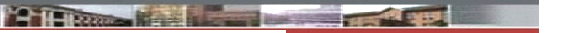
COPYRIGHT 2002 NATIONAL CHENG KUNG UNIVERSITY



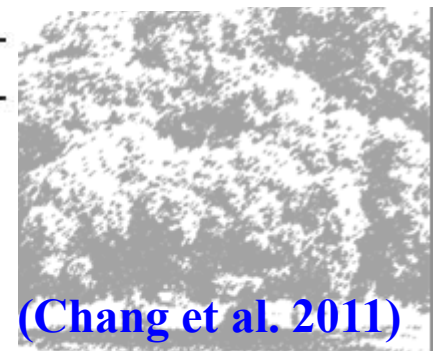
- 多次液化: 1946新化地震, 2010甲仙地震, 2016年0206地震
- 距高鐵高架最近僅 30 m
- 有詳細調查資料



# 北勢里液化分析成果



Method	$CRR_{7.5}$	$\frac{CRR_{in-situ}}{CRR_{lab}}$	Reference
$K_0$ -CDSS	0.123	1	Seed (1979)
SPT-N	0.12	0.98	Idriss and Boulanger (2006)
CPT (PR = 20 mm/s)	0.131	1.06	Robertson (2009)
CPT (PR = 1 mm/s)	0.09	0.73	Robertson (2009)
$V_s$	0.1	0.81	Andrus and Stokoe (2000)
$q_c/V_s$	0.075	0.61	Roy (2008)



(Chang et al. 2011)

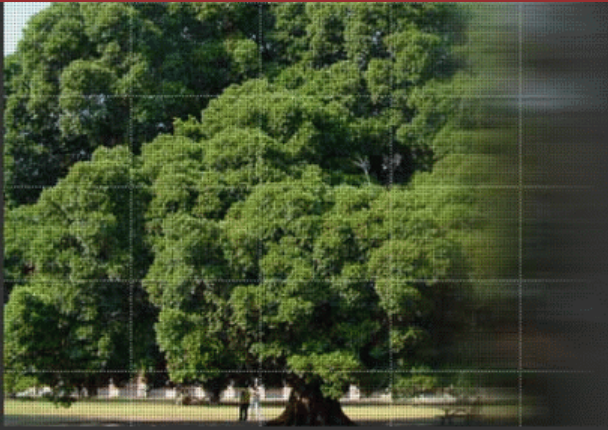


- ▶ 現地剪力波速量測具有非破壞及施測快速之優點，但結果判釋需具專業知識。
- ▶ 以Vs法進行砂土層液化評估時，結果常較SPT-N及CPT-qc保守，且細粒料影響不顯著。
- ▶ 碎石砂土層液化評估，建議進行碎石含量波速修正，以免過於保守。
- ▶ 對於鄰近邊界之液化場址，建議進行多種液化評估分析。





National Cheng Kung University



Thanks !